

seminario 25 giugno 2013

I macroforaminiferi del Paleogene:
classificazione, biostratigrafia e paleoecologia

ISPEA
UNIVERSITÀ DI ROMA "LA SAPIENZA"
DIPARTIMENTO DI SCIENZE DELLA TERRA

SAPIENZA
UNIVERSITÀ DI ROMA

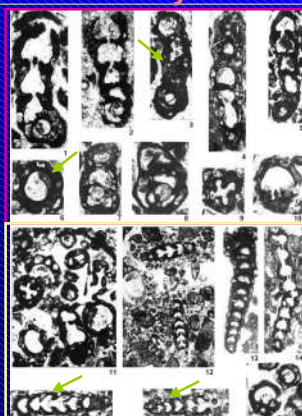
UNIVERSITÀ DI ROMA "LA SAPIENZA"
DIPARTIMENTO DI SCIENZE DELLA TERRA

Biostratigrafia: Paleocene

Johannes Pignatti

Università di Roma "La Sapienza"
Dipartimento di Scienze della Terra
johannes.pignatti@uniroma1.it

SBZ 1-2: Haymanella Sirel, 1998



agglutinated milioline wall

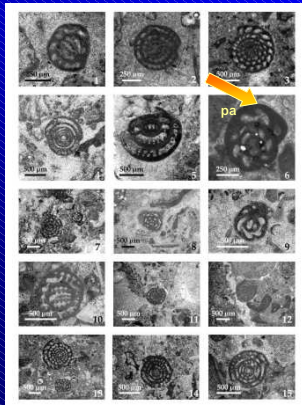
Haymanella paleocaenica Sirel, 1998
Danian
SBZ 1

Haymanella elongata Sirel, 2009
(Danian?)-Selandian
SBZ (1?) - 2

agglutinated milioline wall

Sirel (2009)

SBZ 2/3a: Globoflarina sphaeroidea



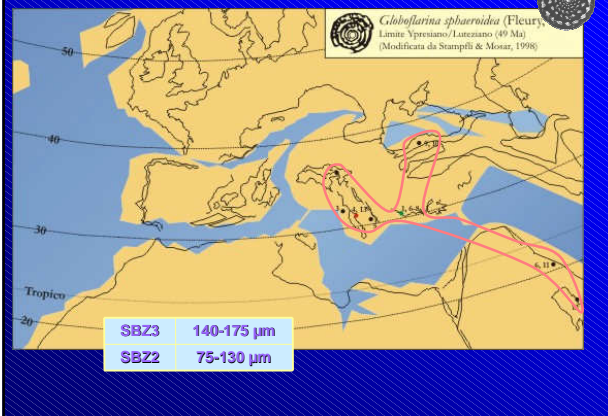
ps

ps

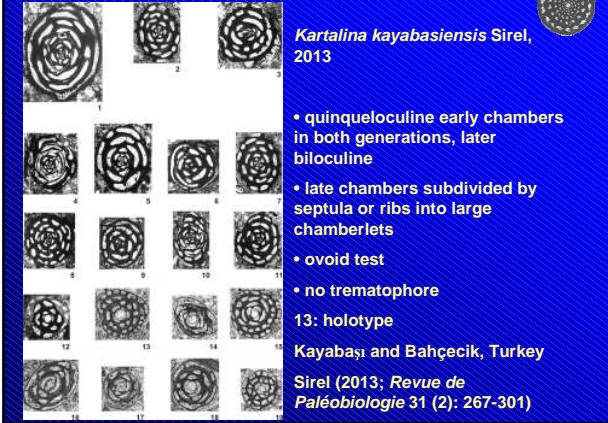
500 µm

ps= subepidermal partitions
pa= anterorse peristomes

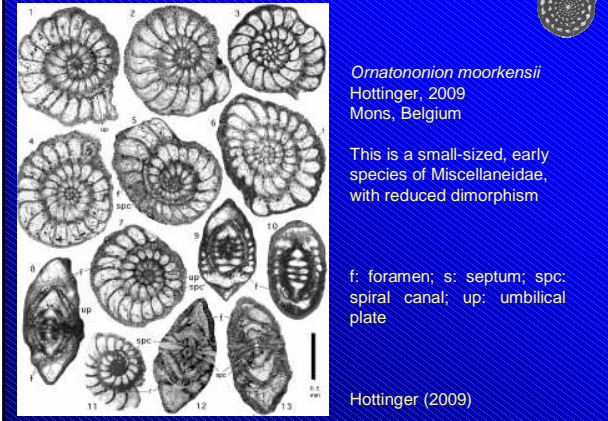
SBZ 2/3a: *Globoflarina sphaeroidea*



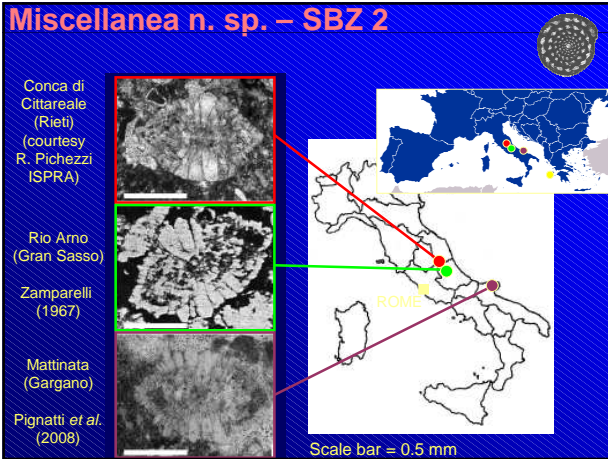
SBZ 2 (?3a): *Kartalina* Sirel, 2013



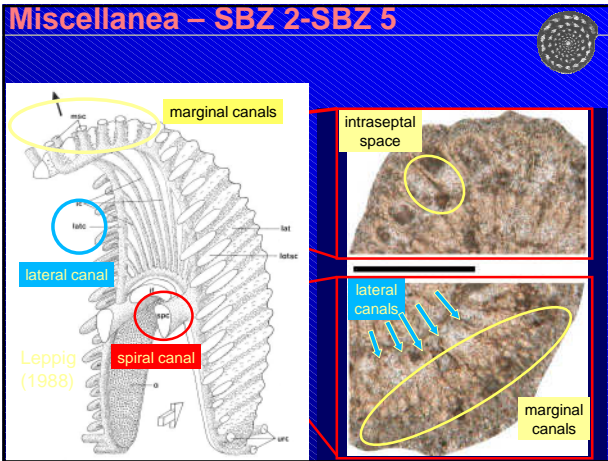
SBZ 2 Miscellaneidae: *Ornatonion*



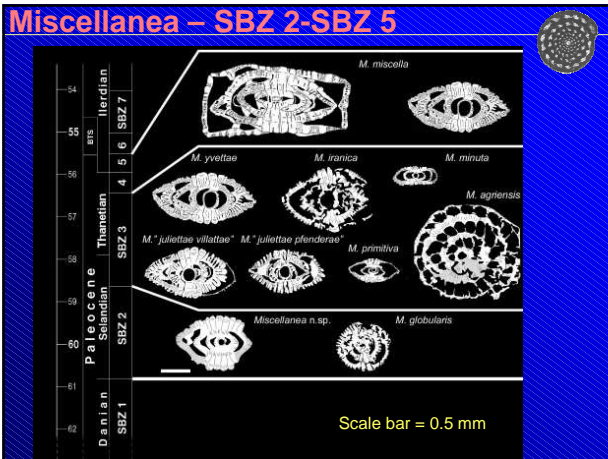
Miscellanea n. sp. – SBZ 2



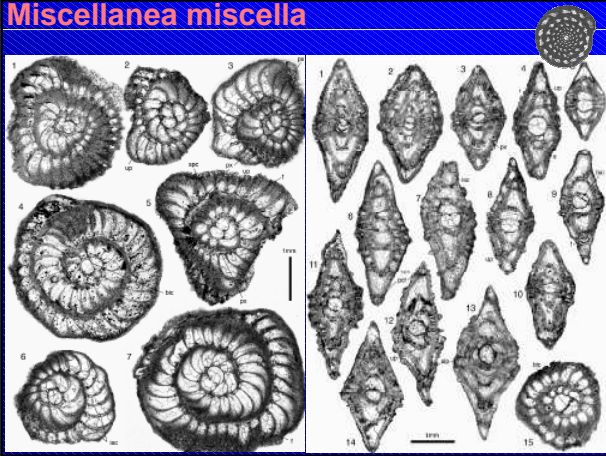
Miscellanea – SBZ 2-SBZ 5



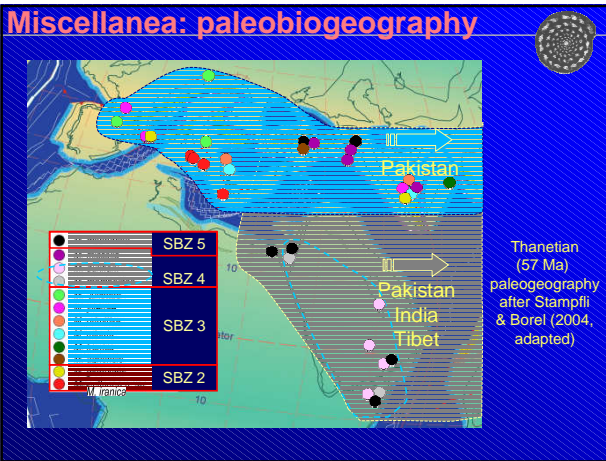
Miscellanea – SBZ 2-SBZ 5



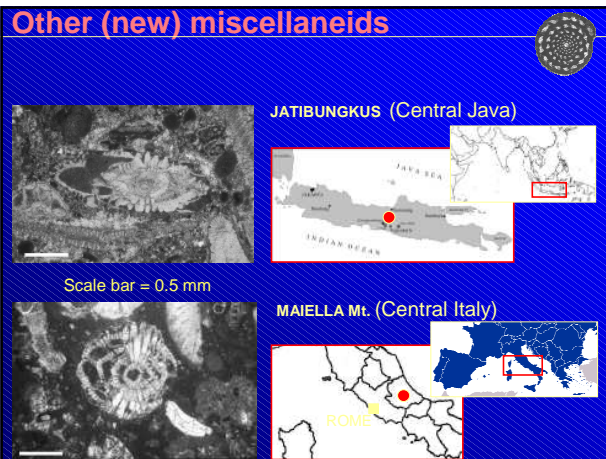
Miscellanea miscella



Miscellanea: paleobiogeography



Other (new) miscellaneids



Miscellanites Hottinger, 2009

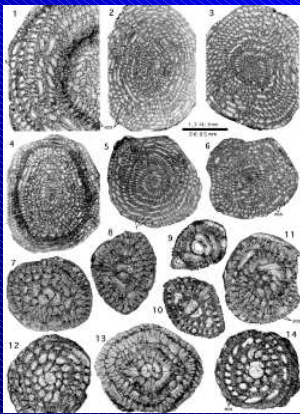


Type species: *Miscellanea iranica* Rahaghi, 1983

f: foramen; ecs: enveloping canal system

Hottinger (2009)

Carterella Sirel, 2013



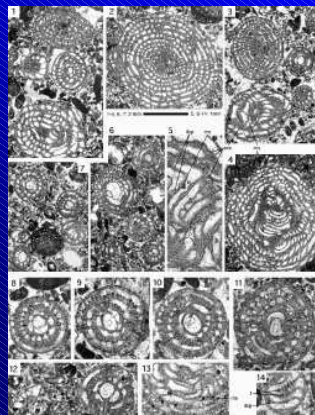
Carterella meandrina
(Carter, 1861) Sirel, 2013

In microspheric forms, adult stage with numerous, very low and short chambers, arranged in multiple spirals; later chambers meandrine, extending from pole to pole

f: foramen; ecs: enveloping canal system

SBZ 4
All from Turkey, except 9
Hottinger (2009)

Carterella Sirel, 2013

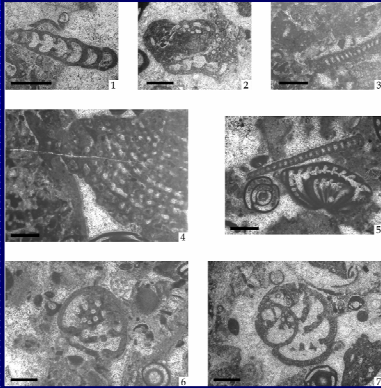


Carterella sp.
[= *Miscellanites meandrinus*
(Carter, 1861) sensu
Hottinger, 1989]

SBZ 4
Wadi Araba, Egypt

Hottinger (2009)

SBZ 3: Agglutinated taxa



Haymanella paleocenica (1)

Haddonia praeheissigi (2)

Thomasella (= *Vania*) *anatolica* (3-5) [+ *Hottingerina anatolica* (5)]

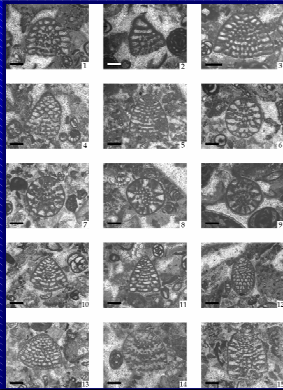
Cribrbulimina cf. *carniolica* (6, 7)

Zakynthos (Kiliomeno)

Scale bar = 0.5 mm



SBZ 3: agglutinanti conici



Zante

Kiliomeno

Coskinon rajkai (1-3)

Fallotella alavensis (4-12)

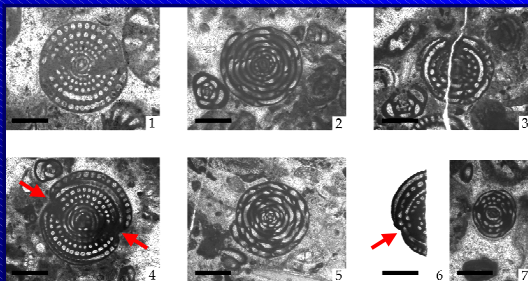
F. kochanskae (13-14)

Gen. et sp. indet. (15)

Barra = 0,5 mm



SBZ 3: *Glomalveolina primaeva*



G. primaeva primaeva (Reichel, 1936) (1-3)

G. primaeva ludwigi (Reichel, 1936) (4-6)

?*Helenaiveolina* (7)

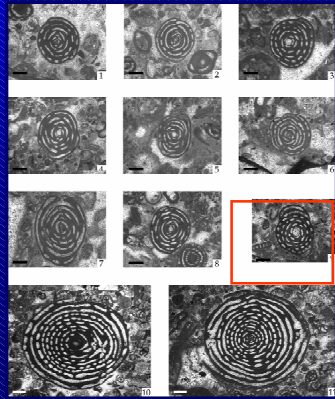


“Odd partner” for *G. primaeva* - SBZ?

SBZ 3: *Idalina sinjarica*

SBZ 3, 4: *Hottingerina*

SBZ 3: *Periloculina slovenica*

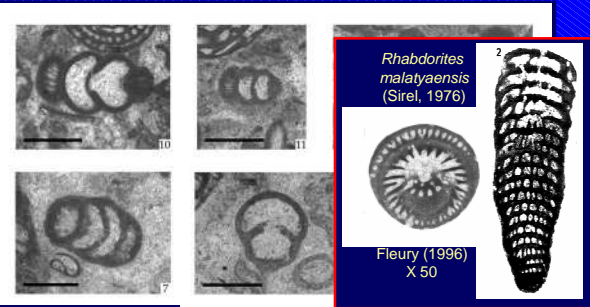


Periloculina slovenica
Drobne, 1974

Zakynthos (Kiliomeno)



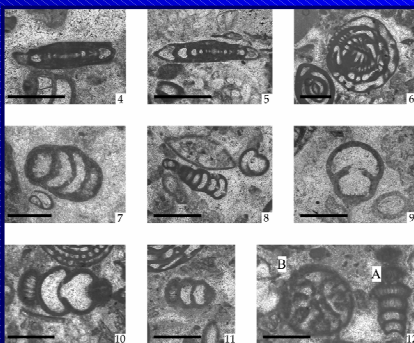
SBZ 3: ?*Rhabdorites*



Scale bar = 0.5 mm



SBZ3a: other Miliolina



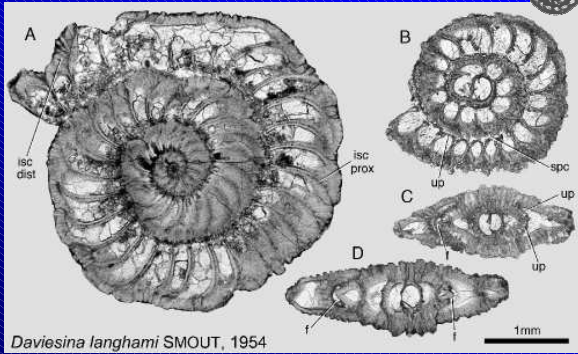
Elazigiella altineri Sirel,
1999 (4, 5)

Globularina sphaeroidea
(Fleury, 1982)
(6)

?*Rhabdorites*
(7-12A)



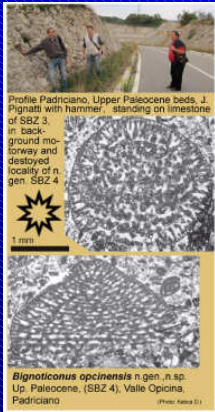
SBZ 4: *Daviesina langhami*



Daviesina langhami SMOUT, 1954

Hottinger (2009)

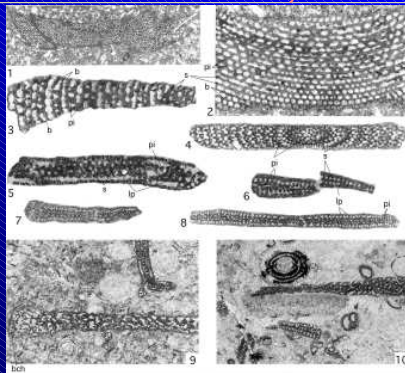
SBZ 4: *Bignoticonus Drobne n. gen.*



A new SBZ 4 genus and species of conical agglutinated foraminifers is being described by K. Drobne from near Trieste

Bignoticonus opcinensis n. gen. n. sp.
Up. Paleocene, (SBZ 4), Valle Opicina, Padriciano

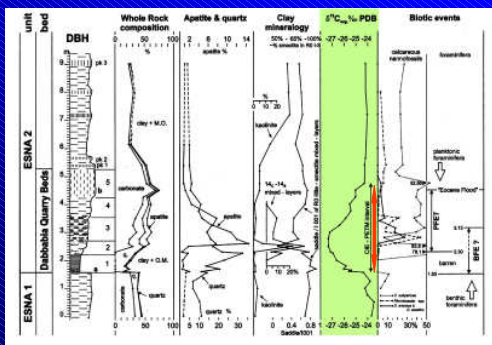
SBZ 4-5: "*Taberina*", *Thomasella*



Abbreviations indicating structural elements: b: beam (exoskeleton), bch: brood chamber, lp: lateral passage, pi: pillar (endoskeleton), s: septum.

Fig. 1. "*Taberina*" *daviesi* Henson, oblique, subequatorial section SK-27, x 15, SBZ 4. Fig. 2 - Detail of fig. 1, x 50. Note subepidermal, radial exoskeleton (beams) and endoskeleton with pillars following an oblique-overcrossing pattern with ramps similar to *Orbitolites*. (Figs. 5-8 illustrate *Thomasella* (= *Yania* Auct.) *labyrinthica* (Grimsdale), SBZ 4-5). All from N Somalia (unpublished).

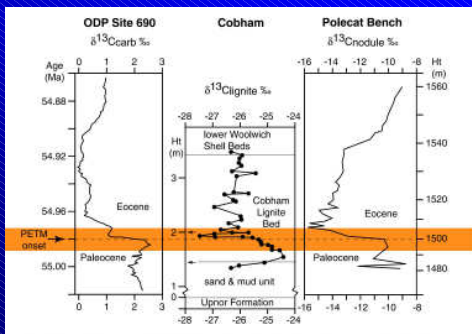
P/E boundary: Dabbabiya



Dupuis et al. (2003: *Micropaleontology* 49(S1): 41-59)

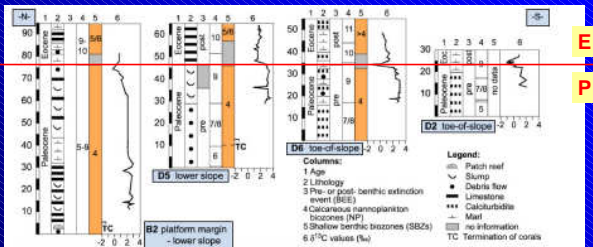
PETM
CIE

PETM & CIE



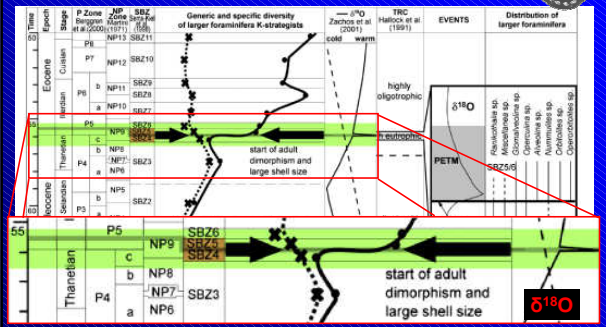
Collinson et al. (2003: *Spec. Pap. GSA* 369:333-349)

LFT: P/E boundary in Egypt (Galala)



Scheibner et al. (2005: *Geology* 33: 493-496)

LFT: larger foraminifera turnover

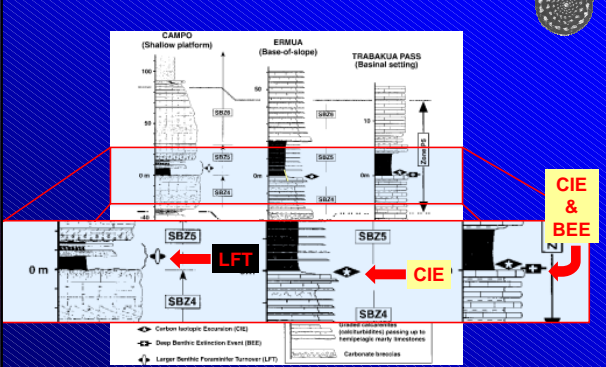


Scheibner et al. (2005: Geology 33: 493-496)

SBZ 5 -> Alveolina: early Ypresian

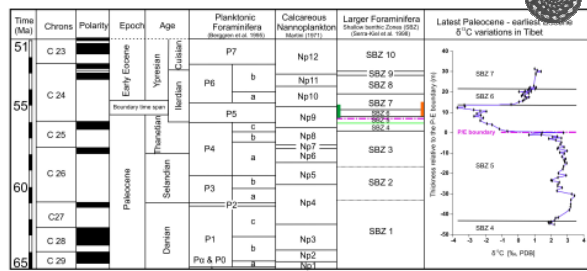


P/E boundary in Spain



Orue-Etxebarria et al. (2001: Marine Micropal. 41: 45-71)

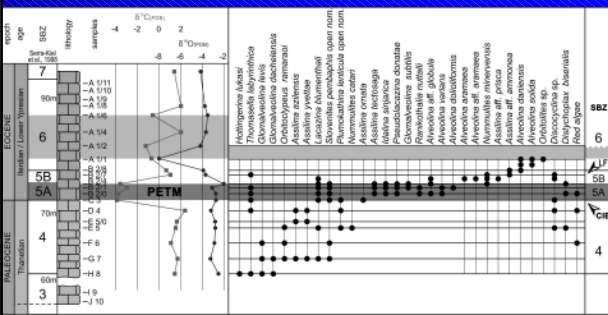
P/E boundary: Tibet



— time interval proposed for the Palaeocene - Eocene boundary by Serra-Kiel et al. (1998)
— time interval proposed for the Palaeocene - Eocene boundary by Hottinger (2001)
— Palaeocene - Eocene boundary proposed by Scheibner & Spejter (2009) and Pujalte et al. (2009)
— Palaeocene - Eocene boundary from our work

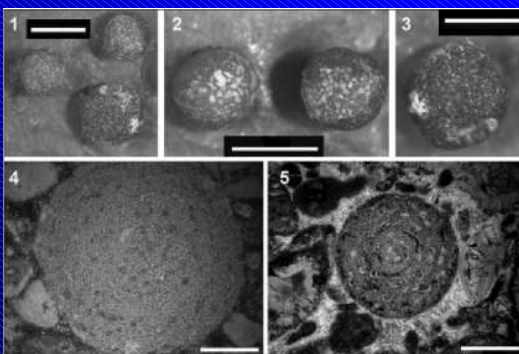
Zhang, Willems & Ding (2013; *International Journal of Earth Sciences*)

P/E boundary: Sopada – SBZ 5A/SBZ 5B



Drobne et al. (in press)

SBZ 5A: *Aberisphaera* spp.



1-4 *Aberisphaera* n. sp. 1, Mt. Nanos, Slovenia; 5 *Aberisphaera* n. sp. 2, Meghalaya, NE Himalaya. Scale bars = 1 mm. Drobne et al. (2012)

P/E: problemi e ipotesi

Problemi

Cosa cambia al limite P/E per gli ecosistemi di acque sottili?

b) radiazione evolutiva di nummulitidi e alveolinidi (→ key novelties)

c) distinzione tra SBZ5A e SBZ5B

Ipotesi

4) Forte incremento di diversità tassonomica in pochi generi (*Alveolina*, *Nummulites*, *Assilina*)

5) Enorme aumento della produttività di carbonati dovuta a pochi generi di macroforaminiferi

MA:

diversità specifica globale
Incrementa e poi
± costante per >5 M.a.

Problemi aperti

Problemi

Il limite P/E non coincide con il passaggio SBZ4/SBZ5 ma con SBZ5A/SBZ5B?

Quali taxa sono più utili a individuarlo esattamente?

Cosa accade a paleolatitudini diverse?

Perché drastica riduzione delle scogliere "profonde", probabilmente fin dal Thanetiano superiore?

Eutrofizzazione al limite P/E?

Risposte

?

? (ma alcune ipotesi)

? (ma alcune ipotesi)

improbabile

